

**ელექტროენერგეტიკულ სისტემაში განუსაზღვრელობის  
პირობები აქტიური სიმძლავრის ოპერატიული რეზისტის  
ოპტიმალური დაგენერაცია**

დ.ჯავარიძე, თ.მაღრაძე

დასაბუთებულია ელექტროენერგეტიკულ სისტემაში აქტიური სიმძლავრის ოპერატიული რეზის თარიმალური დაგენერაციის აუცილებლობა და შესწავლილია შესაბამისი მსოფლიო გამოცდილება. შემუშავებულია აქტიური სიმძლავრის მოცდების შეფასების ზოგადი ალბათურ-ფარიანტული ალგორითმი, არამკაფიო ლოგიკის მეთოდის გამოყენებით ცალკეული დატვირთვის კვანძების და მოლინანდ ელექტროენერგეტიკული სისტემის სამძღოლობის დონეების და მისაღები რისკების განმსაზღვრელი მეთოდოლოგია. შემუშავებულია ელექტროენერგეტიკული სისტემის ოპერატიული რეზის ყოველსაათობრივი რაოდენობის განმსაზღვრელი ალგორითმი. პარალელურად მომუშავე გენერატორებზე ყოველსაათობრივად განხორციელებულია ოპერატიული რეზის და ელექტროენერგეტიკულ სისტემაში სიმძლავრეთა განაწილების სიმულაცია ნორმალური და ავარიული რეჟიმების დროს. ელექტროენერგეტიკულ სისტემაში არსებული ელექტროგადაცემის ხაზებში დროის გარკვეულ მონაკვეთში გამტარულნარობის არსებობის შემთხვევისთვის შემუშავდა ოპტიმიზაციის ზოგადი ფუნქცია შეზღუდვებით და შესაბამისი მაკორექტირებელი ალგორითმი, რომელიც ახდენს რეზის და სიმძლავრეთა ისეთ გადანაწილებას სისტემაში, რომ ნორმალური და ავარიული რეჟიმების დროს არსებული გადატვირთული ელექტროგადაცემის ხაზი ან ხაზები განიტვირთვება. შემუშავებული მეთოდიკის პრაქტიკაში აპრობაციის მიზნით მაგალითისათვის განხილულია ელექტროენერგეტიკული სისტემა და მიღებულია შესაბამისი შედეგი.

ელექტროენერგეტიკულ სისტემებში მაგნენტირებელი სიმძლავრეების რეზის წარმოადგენს სისტემის ფუნქციონირების საიმედოობის ამაღლების ერთ-ერთ უმნიშვნელოვანეს ფაქტორს. სიმძლავრის ოპერატიული რეზის აუცილებელი სიდიდის, ოპტიმალური სტრუქტურის შენარჩუნების და მობილურობის შექმნა რთული საანგარიშო და საექსპლუატაციო ამოცანაა. ამ ამოცანის ეფექტურად გადაწყვეტა ელექტროენერგეტიკულ სისტემას საშუალებას აძლევს დროულად მოახდინოს აქტიური სიმძლავრის დაუბალანსებლობის კომპენსაცია და განახორციელოს თავისი ძირითადი ფუნქცია, სათანადო ხარისხის ელექტროენერგიით მომხმარებლების უწყვეტი მომარაგება.

მუშაობის ნორმალური და ავარიული რეჟიმების პირობებში ქვეყნის ელექტროენერგეტიკული სისტემისათვის სიმძლავრის რეზის წარმოების სირთულე და პრობლემის აქტუალობა განპირობებულია ელექტროსადგურების და ქსელების ძირითადი მოწყობილობების სიძველით, სათბობის ბალანსის სტრუქტურის არახელსაყრელი ცვლილებითა და მისი შესრულების სირთულით, სიმძლავრის რეზის წარმოების ნორმატიული და მარეგლამენტირებელი დოკუმენტების არასრულყოფილებით.

პრობლემის აქტუალობიდან გამომდინარე, უკანასკნელ ათწლეულში მსოფლიოში სიმძლავრის ოპერატიული რეზის თარიმალური დაგეგმვის სხვადასხვა ასპექტებთან დაკავშირებული კვლევები საკმაო ინტენსივობით წარმოებს [4-11]. ამ შრომებში დასაბუთებულია იმის აუცილებლობა, რომ მოცემული მომენტისათვის ჩასატარებელია გეგმაზომიერი სამუშაოები თეორიულ-ალბათობრივი ანალიზისა და ელექტროენერგეტიკულ სისტემებში საექსპლუატაციო შეფორმებების შემთხვევითი პროცესების მახასიათებლების

სტატისტიკურ შეფასებასა და მათ ურთიერთკავშირზე სიხშირის და აქტიური სიმძლავრის ავტომატური რეგულირების თანამედროვე პრინციპების ნორმატიულ საფუძვლებზე, ავარიული ურთიერთდახმარების განხორციელების პრინციპებზე და ოპერატიული რეზერვირების სხვა პრობლემებზე. მათ შორის სხვა ელექტროენერგეტიკულ სისტემებთან ინტეგრაციის პერსპექტივასთან დაკავშირებულ საკითხებზე.

აქვე ხაზი უნდა გაესვას იმ ფაქტს, რომ ელექტროენერგეტიკული სისტემების აქტიური სიმძლავრეების რეზერვის მობილობის და სიდიდის განსაზღვრის არსებული მეთოდიკა მთელი სისრულით ვერ პასუხობს პრაქტიკის მოთხოვნებს, რადგანაც სუსტად არის ორიენტირებული დროის ინტერვალებში ავტომატურ და ოპერატიულ მართვაში გამოსაყენებლად.

ელექტროენერგეტიკული სისტემების ოპერატიული რეზერვის ოპტიმალური დაგეგმვის პრაქტიკაში ფართოდ არის გამოყენებული დეტერმინირებული და ალბათური მეთოდები [6-11].

მსოფლიოს განვითარებული ქვეყნების ელექტროენერგეტიკულ სისტემებს გააჩნიათ ოპერატიული რეზერვის დადგენის განსხვავებული პრიტერიუმები [3,11], რომელთა ჩამონათვალი მოცემულია ცხრ. 1-ში

სხვადასხვა ქვეყნების ელექტროენერგეტიკული სისტემის  
ოპერატიული რეზერვის მოთხოვნები

### ცხრილი 1

ელექტროენერგეტიკული სისტემა	პრიტერიუმი ( $R_d^t$ )
საქართველო	მოხმარების მინიმუმ 10% Minimum $10\%P_i^t$ (1)
ავსტრალია და ახალი ზელანდია	$\max(P_i^t)$ (2)
BC Hydro (კანადა)	$\max(P_i^{max})$ (3)
Manitoba Hydro (კანადა 2)	$80\% \max(P_i^{max}) + 20\%(\sum_{i=1}^n P_i^{max})$ (4)
Yucon Electrical (კანადა 3)	$\max(P_i^{max}) + 10\%(P_d^{max})$ (5)
ბელგია	UCTE წესები. (ევროპული ქვეყნების ენერგოგაერთიანება). მინიმუმ 460 მგვტ
კალიფორნია	$50\% * \max(5\%P_{hydro} + 7\%P_{other \ generation}, P_{largest \ contingency}) + P_{non-firm \ import}$ (6)
საფრანგეთი	UCTE წესები. (ევროპული ქვეყნების ენერგოგაერთიანება). მინიმუმ 500 მგვტ
PJM (southern) (აშშ) სამხრეთი	$\max(P_i^{max})$ (7)
PJM (western) (აშშ) დასავლეთი	$1.5\%(P_d^{max})$ (8)
PJM (Other) (აშშ) სხვა დანარჩენი	პიტური დატვირთვის 1.1 % + ტიპიურ დღეებსა და საათებში ალბათობრივი ანგარიშები
ესპანეთი	მინიმუმ $3(P_d^{max})^{1/2}$ მაქსიმუმ $6(P_d^{max})^{1/2}$ (9)
პოლანდია	UCTE წესები. (ევროპული ქვეყნების ენერგოგაერთიანება). მინიმუმ 300 მგვტ
UCTE (ევროპული ქვეყნების ენერგოგაერთიანება)	არ არსებობის დადგენილი სტანდარტი. რეკომენდირებული მაქსიმუმია: $(10P_{d,zone}^{max} + 150^2)^{1/2} - 150$ (10)

სადაც,  $P_i^t$  – t პერიოდის i ელ. სადგურის გამომუშავება;  $P_i^{max}$  - t პერიოდის ყველაზე  
დიდი გამომუშავება (ელ. სადგური);  $P_d$  - დატვირთვა.

როგორც ცხრ. 7-ში მოყვანილი მონაცემებიდან ჩანს, ელექტრო-ენერგეტიკული სისტემების აქტიური სიმძლავრის ოპერატიული რეზერვის დაგეგმვის კრიტერიუმები ძირითადად ატარებენ დეტერმინირებულ ხასიათს და მათში არ არის გათვალისწინებული ელ. სისტემაში მიმდინარე შემთხვევითი პროცესები. არ არის ნაჩვენები ოპერატიული რეზერვის ოპტიმიზაციის პრობლემის გადაწყვეტის გზები. ელექტროენერგეტიკულ სისტემებში აქტიური სიმძლავრის ოპერატიული რეზერვის ოპტიმალური დაგეგმვა მოითხოვს პრობლემისადმი კომპლექსურ მიღომას. ყველა იმ ფაქტორის გათვალისწინებას, რომლებიც მოქმედებენ ელ. სისტემის მუშაობის საიმედოობაზე. ელ. სისტემების ფუნქციონირების მოთხოვნილი საიმედოობის უზრუნველსაყოფად აუცილებელია სისტემაში არსებობდეს აქტიური სიმძლავრის ოპერატიული რეზერვის ისეთი მოცულობა, რომელიც ნებისმიერი ელ. გადაცემის ხაზის და ელ. სადგურის ავარიული გამორთვის შემთხვევაში მაქსიმალურად დააკმაყოფილდება მომხმარებლის ელ. ენერგიის მოთხოვნა და მინიმუმამდე დაიყვანება როგორც მწარმოებლის, აგრეთვე მომხმარებლის მოსალოდნელი ზარალი. ამ ამოცანის გადაწყვეტის ყველაზე ეფექტურ გზად მიგვაჩნია ელ. სისტემის ფუნქციონირების მიმდინარე პროცესების შეფასებაში ალბათური მეთოდის გამოყენება. ეს მეთოდი საშუალებას გვაძლევს რისკის ინდექსის საშუალებით ანალიზი ჩავტაროთ სხვადასხვა ოპერატიული პროცესების სცენარებს [6-8,11].

ჩატარებული პელევების [4-8,11] ანალიზი ცხადყოფს, რომ ელექტროენერგეტიკულ სისტემაში ოპერატიული რეზერვის ალბათური გზით დადგენის დროს გამოყენებულია მხოლოდ მაგენერირებელი სიმძლავრეების ავარიული გამორთვების სტატისტიკა და ელექტროსისტემისთვის მისაღები რისკის დონე გარკვეული დროის მონაკვეთში (დღე-დამე) მიღებულია მუდმივ სიდიდედ. აღნიშნულმა გარემოებამ შესაძლოა გამოიწვიოს ოპერატიული რეზერვის საქმარისზე მეტი ან ნაკლები სიდიდით განსაზღვრა, რაც საბოლოო ჯამში აისახება ელექტროენერგეტიკული სისტემის საიმედოობის და უსაფრთხოების დონის დაწევის ან ეკონომიკურად გაუმართლებელი სიმძლავრის რეზერვის სიდიდის დადგენაში.

წარმოდგენილ ნაშრომში შემოთავაზებულია ოპერატიული რეზერვის სიდიდის განსაზღვრის ახალი მეთოდიკა, რაც ეფუძნება მაგენერირებელი სიმძლავრეების ავარიული გამორთვების სტატისტიკის და ელექტროენერგეტიკული სისტემისთვის დროის გარკვეულ მონაკვეთში (საათი) საიმედოობის სხვადასხვა დონის მაჩვენებლებს. ჩატარებული პელევებით დადგენილია, რომ ელექტროენერგეტიკული სისტემისთვის დროის გარკვეულ მონაკვეთში (საათი) მისაღები რისკის დონის განსაზღვრა დამოკიდებულია დატვირთვის კვანძების იმ პერიოდში არსებული დატვირთვების სიდიდეებსა და საიმედოობის დონეზე.

ელექტროენერგეტიკულ სისტემაში შესაძლო შეშფოთებების სხვადასხვა სცენარების საფუძველზე მაგენერირებელი წყაროების აქტიური სიმძლავრის მოცდენის შეფასებისათვის გამოყენებულია ზოგად ალბათურ-ვარიანტული ალგორითმი [5-7,10], რომელიც მოცემულია ცხრ. 2-ში.

ვინაიდან ელექტროენერგეტიკულ სისტემაში აქტიური სიმძლავრის ოპერატიული რეზერვის სიდიდის ცვალებადობა შემთხვევითი ხასიათისაა და მიმდინარეობს განუსაზღვრელობის პირობებში, ელექტროენერგეტიკული სისტემისთვის დროის გარკვეულ მონაკვეთში (საათი) მისაღები  $Y_t$  საიმედოობის დონის სწორად განსაზღვრაში ყველა სხვა ცნობილ მეთოდებთან შედარებით უპირატესობა ენიჭება არამკაფიო ლოგიკის მეთოდს [2,9,10].

აქტიური სიმძლავრის მოცდენის შეფასების ზოგადი ალბათურ-გარიანტული ალგორითმი

ცხრილი 2

სცენარი №	გენერატორი			არახელმისაწვდომი (გამორთული) სიმძლავრე	გამორთვის ინდიკიდუალური ალბათობა	სცენარის საქმიანობა
	1	2	n			
	P					
1	1	1	1	$x + P_{2max} + P$	$\infty$	$P_{r1} = \sum_{i=1}^n (1 - ORR_i)$ (11)
2	1	1	0	$x + P_{2max} + P$	$P_{1max}$	$P_{r2} = ORR_3 * \sum_{i=1}^2 (1 - ORR_i)$ (12)
3	1	0	1	$x + P_{2max} + P$	$P_{2max}$	$P_{r3} = (1 - ORR_1) * ORR_2 * \sum_{i=1}^2 (1 - ORR_3)$ (13)
4	0	1	1	$x + P_{2max} + P$	$P_{3max}$	$P_{r4} = ORR_1 * \sum_{i=2}^3 (1 - ORR_i)$ (14)
N	:	:	:	:	:	$\sum_{i=4}^N P_{ri}$ (17)

აქ  $P_{r1}$ ,  $P_{r2}$ ,  $P_{rn}$  - n სცენარის ინდიკიდუალური ალბათობა;  $\sum_{i=2}^N P_{ri}$ ,  $\sum_{i=2}^N P_{rn}$  - n სცენარის ჯამური ალბათობა;  $ORR_i$  - i გენერატორის მზადყოფნის კოეფიციენტი;  $P$  - n სცენარის ხელმისაწვდომი სიმძლავრე;  $P_{nmax}$  - n გენერატორის მაქსიმალური გამომუშავება.

შენიშვნა: 1 - გენერატორის ჩართული მდგომარეობა; 0 - გენერატორის გამორთული მდგომარეობა.

ავლევებმა გვიჩვენა, რომ ელ. სისტემისათვის დროის გარკვეულ მონაკვეთში (საათი) მისაღები  $Y_s$  საიმედოობა უნდა შეფასდეს ორდონიანი არამგაფიო ლოგიკის მოდელის მეშვეობით. ამ მოდელის შემუშავებისათვის საჭიროა ისეთი  $X_1, X_2, \dots, X_n$  ფაქტორების შერჩევა, რომლებიც უზრუნველყოფენ  $Y_s$  საიმედოობის დონის სრულყოფილად შეფასებას. ანალიზის საფუძველზე შერჩეულ იქნა ორი ფაქტორი:  $X_1$  - თითოეული დატვირთვის კვანძის საათობრივი დატვირთვა და  $X_2$  - თითოეული დატვირთვის კვანძის საიმედოობის დონე.

პირველ დონეზე განხორციელდა თითოეული დატვირთვის კვანძის  $Y_1, Y_2, \dots, Y_i$  საიმედოობის შეფასება  $X_1$  და  $X_2$  ფაქტორების საფუძველზე. მეორე დონეზე მოხდა  $Y_1, Y_2, \dots, Y_i$  საიმედოობის დონეების საფუძველზე საბოლოო  $Y_s$  საიმედოობის დონის შეფასება. ექსპერტული შეფასების საფუძველზე შედგენილია  $X_1$  და  $X_2$  მახასიათებლების გავლენის მატრიცა  $Y_1, Y_2, \dots, Y_i$  და  $Y_s$  საიმედოობის დონეზე. შედეგები მოცემულია ცხრ.3 -სა და 4-ში.

პირველი დონისათვის  $X_1$  და  $X_2$  ფაქტორების გავლენა  
 $Y_1, Y_2, \dots, Y_i$  სიდიდეებზე

ცხრილი 3

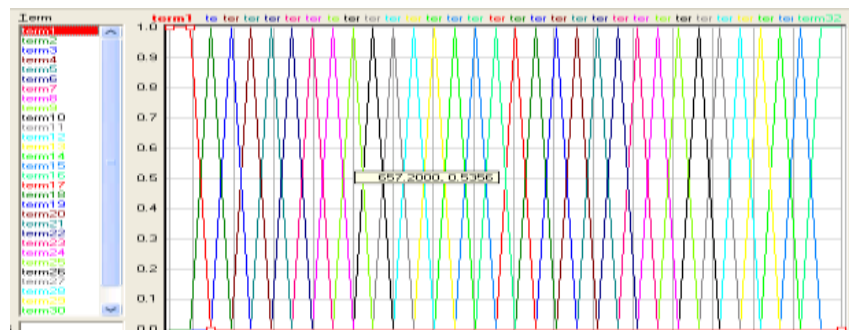
ფაქტორი	X1	X2
	ზრდა	ზრდა
$Y_1, Y_2, \dots, Y_i$	იზრდება	იზრდება

მეორე დონისათვის  $Y_1, Y_2, \dots, Y_i$  საიმედოობის მახასიათებლების გავლენა  
 $Y_s$  სიდიდეზე

ცხრილი 4

ფაქტორი	$Y_1, Y_2, \dots, Y_i$
	ზრდა
$Y_s$	იზრდება

i დატვირთვის კვანძისთვის  $X_1, X_2, Y_1, Y_2, \dots, Y_i$  და  $Y_s$  საიმედოობის დონის მახასიათებლების არამკაფიო სიმრავლეზე დასაყვანად გამოყენებულია სამკუთხედის წევრის ფუნქცია და ყოველსაათობრივი მაჩვენებლები დაყოფილია 32 ნაწილად, რომელსაც აქვს ნახ.1 მოცემული ზოგადი სახე:



ნახ. 1. სამკუთხედის წევრის ზოგადი ფუნქცია

$X_1, X_2$  მახასიათებლების დამოკიდებულების  $Y_1, Y_2, \dots, Y_i$ -ზე და  $Y_1, Y_2, \dots, Y_i$  მახასიათებლების  $Y_s$  საიმედოობის დონეზე შეფასების ფუნქციური დამოკიდებულებაა:

$$Y_1, Y_2, \dots, Y_i = \psi_1(X_1, X_2), \quad (18) \quad Y_s = \psi_2(Y_1, Y_2, \dots, Y_i) \quad (19)$$

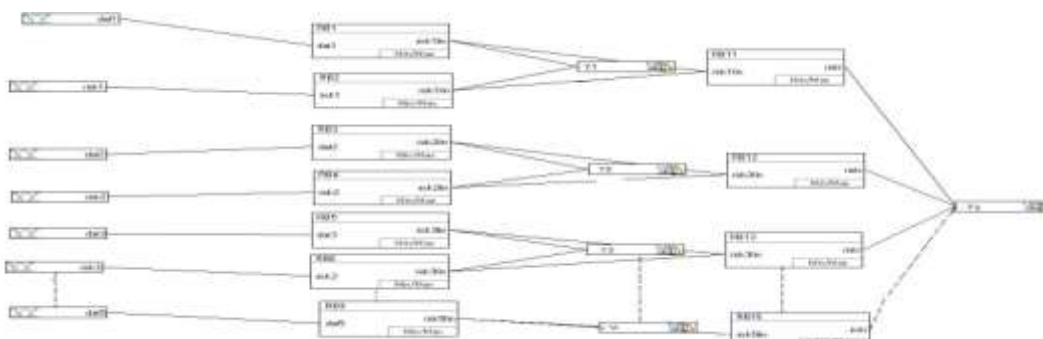
სადაც  $\psi_1$  და  $\psi_2$  პროცედურაა, რომელიც შეიცავს წესების ბაზას და აკავშირებს  $X_1, X_2, Y_1, Y_2, \dots, Y_i$  და  $Y_s$  მახასიათებლებს ერთმანეთთან.

$X_1$  და  $X_2$  მახასიათებლების გავლენის მატრიცის საფუძველზე i რაოდენობის დატვირთვის კვანძისათვის n რაოდენობის ჩამოყალიბებული წესების მიხედვით დგინდება ყოველ  $X_1$  და  $X_2$  მახასიათებლის ცვალებადობის გავლენა  $Y_t$ -ს მნიშვნელობაზე და  $Y_1, Y_2, \dots, Y_i$ -ს ცვალებადობის გავლენა  $Y_s$  მახასიათებლზე. ამ პროცესის აღწერა მოცემულია ნახ. 2-ზე:

#	IF dat <sub>i</sub>	THEN Dos	risk <sub>i</sub> fin
1	term1	1.00	term32
2	term2	1.00	term31
3	term3	1.00	term30
4	term4	1.00	term29
5	term5	1.00	term28
6	term6	1.00	term27
7	term7	1.00	term26
8	term8	1.00	term25

ნახ. 2. ჩამოყალიბებული წესების ზოგადი სტრუქტურა,  
სადაც  $term_i - X_1, X_2, Y_1, Y_2, \dots, Y_i$  და  $Y_s$  მახასიათებლების i ინტერვალი; Dos – i  
ინტერვალის შესაბამისი წესის წონა

წარმოდგენილი შემსვლელი ინფორმაციის დამუშავებისა (ფაზიფიკაცია)  
და საბოლოო შედეგის (დეფაზიფიკაცია) მისაღებად სხვადასხვა დატვირთვის  
კვანძის გათვალისწინებით შემუშავდა არამკაფიო მოდელირების პროცესის  
მიმდინარეობის ინტერაქტიული ზოგადი ბლოკ-სქემა (ნახ. 3).



ნახ. 3. არამკაფიო მოდელირების ინტერაქტიული ზოგადი ბლოკ-სქემა  
აქ  $dat_i$  – i კვანძის საათობრივი დატვირთვა;  $risk_i$  – i დატვირთვის კვანძის მოთხოვნილი საათობრივი საიმედოობის დონე;  $RB_i(dat_i)$  – i კვანძის i დატვირთვის  $Y_i$  საიმედოობის დონეზე გავლენის წესების მაჩვენებელი ბლოკი;  $RB_i(risk_i)$  – i დატვირთვის კვანძის i საიმედოობის დონის  $Y_i$  საიმედოობის დონეზე გავლენის წესების მაჩვენებელი ბლოკი;  $Y_1, \dots, Y_i$  – i დატვირთვის კვანძის შეფასებული საიმედოობის დონე;  $Y_s$  – ელექტროენერგეტიკული სისტემის ყოველსაათობრივი საიმედოობის დონე.

საბოლოო შედეგის მიღება (დეფაზიფიკაცია) განხორციელდა მინიმაქსის მეთოდის გამოყენებით [2,9,10].

ჩატარებული კვლევების შედეგებიდან გამომდინარე შემუშავებულია ელექტროენერგეტიკული სისტემის ოპერატიული რეზერვის ყოველსაათობრივი სიდიდის განმსაზღვრელი ალგორითმი, რომელიც ასახულია ცხრ. 5-ში.

პარალელურად მომუშავე მაგნენირებული წყაროების მიერ ელექტროენერგიის წარმოების და შესაბამისი ოპერატიული რეზერვის ელექტროგადაცემის ხაზებში ოპტიმალური განაწილების მიზნით ნიუტონ-რაფსონის მეთოდის გამოყენებით ყოველსაათობრივად განხორციელებულია ელექტროენერგეტიკულ სისტემაში სიმძლავრეთა განაწილების სიმულაცია ნორმალური და ავარიული რეჟიმების დროს [1,12]. ელექტროენერგეტიკულ სისტემაში არსებული ელექტროგადაცემის ხაზებში დროის გარემონტი გამტკვევის შემთხვევისთვის შემუშავდა ოპტიმიზაციის ზოგადი ფუნქცია შეზღუდვებით [1], რომელიც ახდენს რეზერვის

და სიმძლავრეთა ისეთ გადანაწილებას სისტემაში, რომ ნორმალური და ავარიული რეჟიმების დროს არსებული გადატვირთული ელექტროგადაცემის ხაზი ან ხაზები განიტვირთება. მიზნის ფუნქციას შეზღუდვებით აქვს შემდეგი ზოგადი სახე:

$$X \Rightarrow \min \quad \text{მიზნის ფუნქცია} \quad (32)$$

ელექტროენერგეტიკული სისტემის ოპერატიული რეზერვის  
ყოველსაათობრივი ოპრაციული განმსაზღვრული ალგორითმი

ცხრილი 5

დასაწყისი
სცენარი № 1, 2, 3, . . N ფორმირება
შესაბამისი არამკაფიო ლოგიკის მოდელის და ყოველსაათობრივი t საიმედოობის დონის ფორმირება
$\sum_{i=2}^8 P_{r2}$ , (20) $\sum_{i=3}^8 P_{r3}$ , (21) $\sum_{i=4}^8 P_{r4}$ , (22) $\sum_{i=4}^8 P_{rn}$ (23) ჯამური ალბათობების და Y <sub>t</sub> შედარება
$Y_t <= \sum_{i=4}^8 P_{rn}$ , (24) მაშინ $\sum_{i=4}^8 P_{rn}$ (25) ალბათობის შესაბამისი № 1, 2, 3, . . N სცენარის არჩევა (15)
ამორჩეული N სცენარის შესაბამისი P ხელმისაწვდომი სიმძლავრის შერჩევა t საათისთვის მინიმალურად საჭირო ოპერატიული რეზერვი R <sub>t</sub> = D <sub>t</sub> - P (26)
არსებული რეზერვის R <sub>a1</sub> , R <sub>a2</sub> , ..., R <sub>an</sub> ფორმირება (R <sub>an</sub> = D <sub>t</sub> - $\sum_{i=1}^n P_i$ ) (27)
თუ R <sub>an</sub> >= R <sub>t</sub> , (28) მაშინ მაშინ სისტემას არ ესაჭიროება დამატებით ოპერატიული რეზერვი ოპტიმალური ოპერატიული რეზერვი: R <sub>0</sub> = R <sub>an</sub> ; (29) თუ R <sub>an</sub> < R <sub>t</sub> , მაშინ მაშინ სისტემას ესაჭიროება დამატებით R <sub>f</sub> = R <sub>t</sub> - R <sub>an</sub> (30) ოპერატიული რეზერვი; ოპტიმალური ოპერატიული რეზერვი: R <sub>0</sub> = R <sub>an</sub> + R <sub>t</sub> <sup>-1</sup> (31) პროპორციის მეთოდის გამოყენებით [1] R <sub>0</sub> ოპტიმალური ოპერატიული რეზერვის განაწილება პარალელურად მომუშავე მაგნენირებელ წყაროებზე დასასრული

შეზღუდვები:

$$D_i = \frac{\sum_{i=1}^n (B_i * C_i)}{\sum_{i=1}^n C_i}; \quad (33) \quad F_i = \frac{A_i * B_i * C_i}{D_i * \sum_{i=1}^n C_i}; \quad (34)$$

$$G_i = C_i - F_i; \quad (35) \quad H_i = -B_i * C_i * \frac{-J}{50} I_i = G_i + H_i; \quad (36) \quad J = \frac{-G_{igam} * 50}{K_d * \sum_{i=1}^n G_i + M * \rho * (E - \sum_{i=1}^n C_i)}; \quad (37)$$

$$\rho = \frac{\sum_{i=1}^n (C_i - G_{igam})}{\sum_{i=1}^n C_i}; \quad (38) \quad A_1 = A_2 = \dots = A_n; \quad (39) \quad D_i = \sum_{i=1}^n G_i; \quad (40) \quad G_1: G_2: \dots: G_n \leq C_1: C_2: \dots: C_n; \quad (41)$$

$$I_1: I_2: \dots: I_n \leq C_1: C_2: \dots: C_n \quad (42) \quad \sum_{i=1}^n F_i = R_{0i} \quad (43) \quad X = I_i \quad (44) \quad \text{or} \quad I_1 + I_2 + \dots + I_n \quad (45)$$

სადაც

**D<sub>i</sub>** - ელექტროენერგეტიკული სისტემის სტატიკური მახასიათებლის დახრილობის კოეფიციენტი;

**B<sub>i</sub>** - **i** გენერატორის სტატიკური მახასიათებლის დახრილობის კოეფიციენტი;

**C<sub>i</sub>** - **i** გენერატორის ნომინალური (მაქსიმალური) სიმძლავრე;

**F<sub>i</sub>** - **i** გენერატორზე პროპორციით განაწილებული რეზერვის სიდიდე;

**A<sub>i</sub>** - პარალელურად მომუშავე გენერატორებზე განსაზღვრული რეზერვის საერთო ოპრაცია;

**G<sub>i</sub>** - **i** გენერატორის წარმოება ნომინალური რეჟიმის დროს;

**H<sub>i</sub>** - **i** გენერატორის მიერ დამატებით განვითარებული სიმძლავრე ავარიული რეჟიმის პირობებში, რომელიმე **G<sub>igam</sub>** გენერატორის ავარიული გამორთვის დროს;

**J** - **G<sub>igam</sub>** გენერატორის ავარიული გამორთვის შემთხვევაში სისტემის სისპირის გადახრა;

$I_i$  - ავარიული რეჟიმის პირობებში  $i$  გენერატორის ჯამური წარმოებაა  $G_i$  გენერატორის ავარიული გამორთვის დროს;

$G_{igam}$  -  $G_{igam}$  გენერატორის გამორთვამდე მისი ფაქტობრივი გამომუშავება;

$K_d$  - დატვირთვის სტატიკური მახასიათებლის დახრილობის კოეფიციენტი;

$M$  - სტატიკური მახასიათებლის დახრილობის კოეფიციენტია  $G_{igam}$  გენერატორის ავარიული გამორთვის შემთხვევაში;

$\rho$  - სიმძლავრის რეზერვის კოეფიციენტი;

$C_{igam}$  - ავარიულად გამორთული გენერატორის ნომინალური (მაქსიმალური) სიმძლავრე;

$X$  - გადატვირთული ელექტროგადაცემის ხაზის მკებავი კვანძის გამომუშავებაა.

$R_{0i} - i$  სთ-ის დროს ოპტიმალური ოპერატიული რეზერვის სიდიდეა;

$D_i - i$  სთ-ის დროს დატვირთვის კვანძების მოხმარება;  $i = 1, \dots, n$ .

<sup>1</sup> - შენიშვნა: დამატებით საჭირო ოპერატიული რეზერვი განაწილებულია მაგენენირებელ წყაროებზე, ხოლო მოხმარების დაფარვის დეფიციტი ალგორითმში გათვალისწინებულია როგორც იმპორტი.

მიღებული ოპტიმიზაციის ზოგადი ფუნქციის საფუძველზე შემუშავებულია სიმულაციის შედეგად ელექტროენერგეტიკულ სისტემაში არსებული ელექტროგადაცემის ხაზებში დროის გარკვეულ მონაკვეთში გამტარუნარობის არსებობის შემთხვევის მაკორექტირებელი ზოგადი ალგორითმი, რომელიც ასახულია ცხრ. 6-ში:

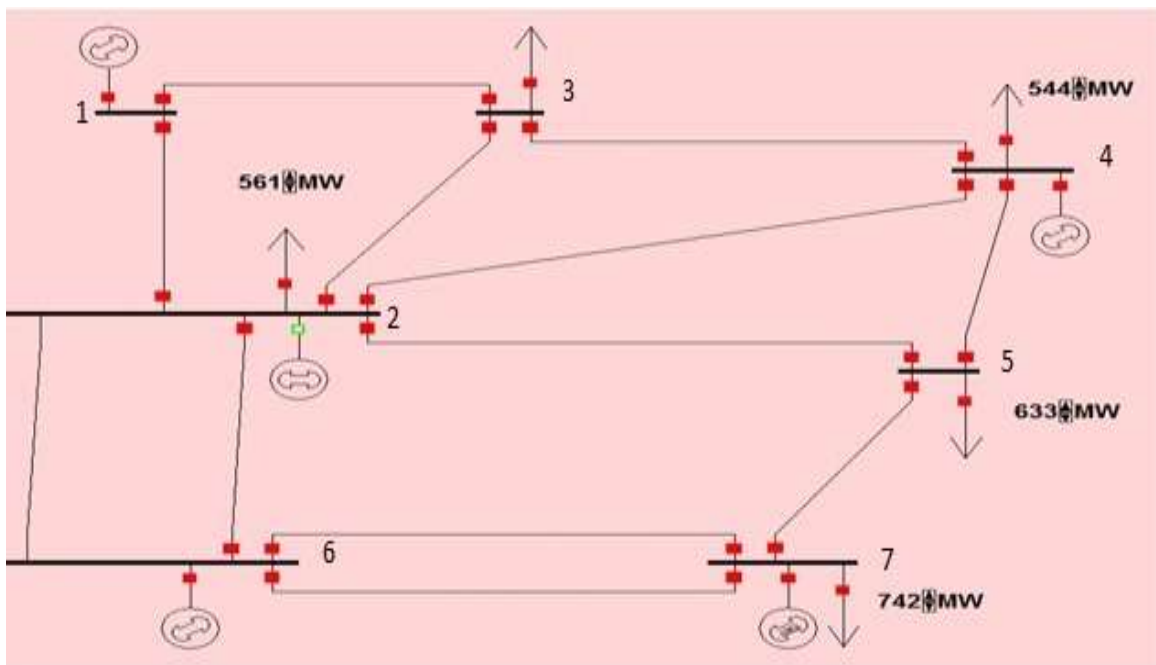
მაკორექტირებელი ალგორითმი

### ცხრილი 6

დასაწყისი
პარალელურად მომუშავე მაგენენირებელი წყაროების $t$ სთ-ის წარმოების და პროპორციის მეთოდის გამოყენებით მათზე გადანაწილებული $R_i$ ოპერატიული რეზერვის სიდიდის მიხედვით ნორმალური და ავარიული რეჟიმის პირობებში ელექტროგადაცემის ხაზებში სიმძლავრეთა განაწილების სიმულაცია
სიმულაციის შედეგად მიღებული ელექტროგადაცემის ხაზების ფაქტიური ტეიროის შედარება დასაშვებ გამტარუნარიანობასთან ნორმალურ და ავარიულ რეჟიმების დროს:
თუ $P_{line,facti} \leq P_{line,peri}$ (46) მაშინ $i$ ხაზი არ არის გადატვირთული, მაშინ გადადი 7 ეტაპზე
თუ $P_{line,facti} > P_{line,peri}$ (47) მაშინ $i$ ხაზი გადატვირთულია და გადადი შემდეგ - 3 ეტაპზე
$i=1, \dots, n$ გადატვირთული ხაზების ფორმირება
მაკორექტირებელი ოპტიმიზაციის ფუნქციის მეშვეობით პარალელურად მომუშავე მაგენენირებელი წყაროების $t$ სთ-ის წარმოების და პროპორციის მეთოდის გამოყენებით მათზე გადანაწილებული $R_i$ ოპერატიული რეზერვის ახალი სიდიდის განსაზღვრა ნორმალური და ავარიული რეჟიმის პირობებში ელექტროგადაცემის ხაზებში სიმძლავრეთა განაწილების სიმულაცია
დასასრული

ელექტროენერგეტიკული სისტემის აქტიური სიმძლავრის ყოველსაათობრივი ოპერატიული რეზერვის ოპტიმალური დაგეგმვის მეთოდიკის პრაქტიკაში აპრობაციის მიზნით მაგალითისათვის განხილულია ელექტროენერგეტიკული სისტემა. ცხრ. 7-9-ში და ნახ. 4-ში მოცემულია სისტემის მახასიათებლები. სისტემაში არსებული ძაბვა 220 კვ-ია. გამარტივების მიზნით რეაქტიული ტვირთები და კარვები ეგბ-ებში მიღებულია 0-ის ტოლად.

ცხრ. 7 და 8-ის მონაცემების მიხედვით მიღებულია ელექტროენერგეტიკული სისტემის მაგენენირებელი წყაროების აქტიური სიმძლავრის მოცდენის ალბათობრივ-გარიანტული ცხრ. 10.



ნახ. 4. ელექტროენერგეტიკული სისტემის ცალხაზოვანი სქემა <sup>2</sup>

ელექტროენერგეტიკული სისტემის ელექტროგადაცემის  
ხაზების გამტარუნარიანობა

ცხრილი 7

ეგბ №	კვანძიდან	კვანძამდე	დასაშვები გამტარუნარიანობა, მგვტ
1	1	2	1000
2	1	3	1000
3	2	3	1000
4	2	4	1000
5	2	5	1000
6	2	6	750
7	2	6	750
8	3	4	1000
9	4	5	1000
10	5	7	1000
11	6	7	1000
12	6	7	1000

<sup>2</sup> შენიშვნა: გამარტივების მიზნით რამდენიმე გენერატორი ნახაზზე წარმოდგენილია ერთ გენერატორად

მახასიათებელი	მაქს. წარმოება	მინ. წარმოება	ავარიული გამორთვის ალბათობა	სტატიკური მახასიათებლის დახრილობის პოვიციენტი
სთ-1	სთ-2	სთ-3	სთ-4	სთ-5
15	0.01	0	30	გ-1
20	0.03	0	30	გ-2
25	0.02	0	30	გ-4
30	0.04	0	30	გ-5
15	0.01	0	30	გ-6
15	0.01	0	30	გ-7
15	0.01	0	30	გ-8
20	0.02	0	30	გ-9
20	0.01	0	30	გ-10
15	0.02	0	30	გ-11
25	0.01	0	50	გ-12
15	0.01	0	50	გ-13
30	0.02	0	100	გ-14
15	0.01	0	100	გ-15
15	0.01	0	100	გ-17
25	0.03	0	100	გ-16
30	0.01	0	200	გ-21
20	0.02	0	100	გ-18
25	0.02	0	100	გ-19
30	0.01	0	200	გ-20
15	0.03	0	200	გ-22
30	0.02	0	200	გ-23
15	0.01	0	250	გ-24
20	0.01	0	250	გ-24
30	0.04	0	300	გ-25
25	0.01	0	300	გ-26
20	0.02	0	300	გ-27
30	0.03	0	350	გ-28
25	0.01	0	420	გ-29
30	0.01	0	420	გ-30
-	-	0	4120	კაბი

ელექტროენერგეტიკული სისტემის დატვირთვის კვანძების საათობრივი ტექნიკური მონაცემები

ცხრილი 9

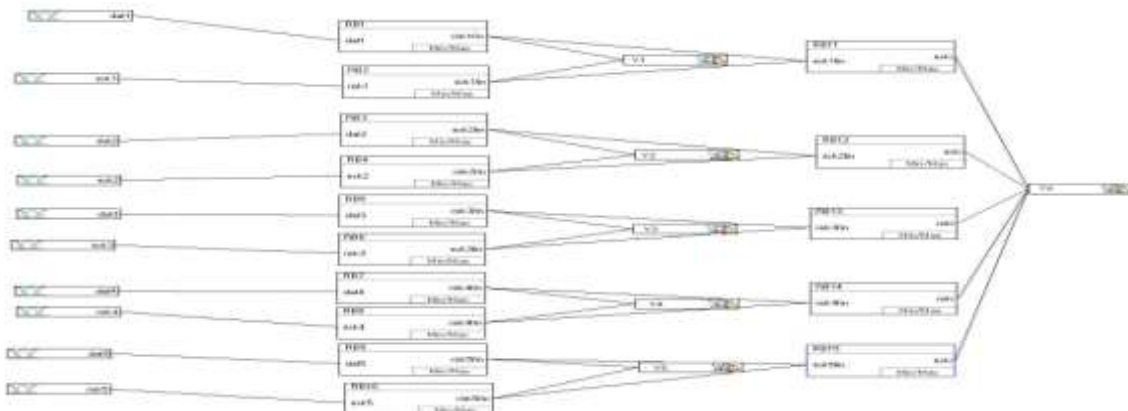
დატვე ატირი გის კანტი	სთ-1	სთ-2	სთ-3	სთ-4	სთ-5	სთ-6	სთ-7	სთ-8	სთ-9	სთ-10	სთ-11	სთ-12	სთ-13	სთ-14	სთ-15	სთ-16	სთ-17	სთ-18	სთ-19	სთ-20	სთ-21	სთ-22	სთ-23	სთ-24	სამედიობის (ალბათობა)
Nº1	720	685.4	639.2	691.4	720.2	686.2	597	691	880.6	635.4	632.6	676.8	780.2	788.2	730.6	904.2	794	831.6	574.2	840.6	863	744.6	722	568	0.01
Nº2	544	683.4	702.2	584.4	665.2	716.2	668	674	629.6	661.4	724.6	675.8	796.2	637.2	895.6	735.2	721	630.6	612.2	784.6	897	759.6	672	802	0.02
Nº3	561	840.4	582.2	758.4	832.2	540.2	626	692	857.6	812.4	863.6	717.8	763.2	823.2	651.6	674.2	767	698.6	818.2	875.6	762	719.6	878	646	0.03
Nº4	633	649.4	561.2	652.4	713.2	679.2	790	723	678.6	806.4	770.6	785.8	658.2	742.2	644.6	886.2	645	891.6	847.2	658.6	712	638.6	797	649	0.01
Nº5	742	741.4	715.2	713.4	769.2	778.2	519	900	873.6	864.4	848.6	683.8	802.2	569.2	857.6	700.2	673	787.6	788.2	720.6	766	637.6	651	755	0.01
ჯამი, მგვტ	3200	3600	3200	3400	3700	3400	3200	3680	3920	3780	3840	3540	3800	3560	3780	3900	3600	3840	3640	3880	4000	3500	3720	3420	$K_d = 2$

ელექტროენერგეტიკული სისტემის აქტიური სიმძლავრის მოცდენის ალბათობრივ-ვარიანტული ცხრილი

ცხრილი 10

გამორთული გენერაციო	ინდივიდუალური ალბათობა	ჯამური ალბათობა	ხელმისაწვდომი სიმძლავრე
4090	0.224	0.007	გ-1
4090	0.217	0.007	გ-2
4090	0.209	0.007	გ-3
4090	0.202	0.007	გ-4
4090	0.194	0.007	გ-5
4090	0.187	0.007	გ-6
4090	0.179	0.007	გ-7
4090	0.172	0.007	გ-8
4090	0.164	0.007	გ-9
4090	0.157	0.007	გ-10
4090	0.134	0.007	გ-13
4020	0.127	0.007	გ-14
4020	0.120	0.007	გ-15
4020	0.112	0.007	გ-16
4020	0.105	0.007	გ-17
4020	0.097	0.007	გ-18
4020	0.090	0.007	გ-19
4020	0.082	0.007	გ-20
3920	0.075	0.007	გ-21
3920	0.067	0.007	გ-22
3870	0.060	0.007	გ-23
3870	0.052	0.007	გ-24
3820	0.045	0.007	გ-25
3820	0.037	0.007	გ-26
3820	0.030	0.007	გ-27
3770	0.022	0.007	გ-28
3700	0.015	0.007	გ-29
3700	0.007	0.007	გ-30
4120	0.964	0.740	ჩართულია

ცხრ. 9-ის მონაცემების მიხედვით სისტემაში არსებული 5 დატვირთვის კვანძისათვის ზემოთ მოყვანილი მეთოდოლოგიის საფუძველზე შემუშავებულია არამკაფიო ლოგიკის მოდელი, რომელიც ასახულია ნახ. 5-ზე.



ნახ. 5. ყოველსაათობრივი საიმედოობის დონის შეფასების არამკაფიო ლოგიკის ორდონიანი მოდელი

პროგრამული პაკეტის Fuzzytech-ის ბაზაზე შესრულებული გაანგარიშებით დადგენილია ელექტროენერგეტიკული სისტემის ყოველსაათობრივად თითოეული დატვირთვის კვანძის საიმედოობის  $Y_1, Y_2, Y_3, Y_4, Y_5$  და მთლიანად სისტემისთვის საჭირო  $Y_s$  საიმედოობის დონეები. ანალიზის შედეგები მოცემულია ცხრ.11-ში.

ელექტროენერგეტიკული სისტემის ყოველსაათობრივად  
საჭირო საიმედოობის (მისაღები რისკის) დონე

ცხრილი 11

საათი	0-1	1-2	2-3	3-4	4-5	5-6	6-7	7-8
$Y_1$	0.0156	0.0167	0.018	0.0165	0.0156	0.0166	0.0193	0.0165
$Y_2$	0.0248	0.0211	0.0205	0.0239	0.0216	0.0201	0.0215	0.0213
$Y_3$	0.0292	0.021	0.0286	0.0234	0.0212	0.0297	0.0273	0.0254
$Y_4$	0.018	0.0175	0.02	0.0174	0.0156	0.0166	0.0132	0.0153
$Y_5$	0.0143	0.0143	0.015	0.015	0.0136	0.0133	0.02	0.0103
$Y_s$	0.022	0.02	0.0222	0.0216	0.0191	0.02	0.0218	0.0207
საათი	8-9	9-10	10-11	11-12	12-13	13-14	14-15	15-16
$Y_1$	0.0109	0.0181	0.0182	0.0169	0.0138	0.0136	0.0153	0.0103
$Y_2$	0.0226	0.0217	0.0199	0.0213	0.0179	0.0224	0.0152	0.0196
$Y_3$	0.0205	0.0218	0.0202	0.0246	0.0232	0.0215	0.0266	0.0259
$Y_4$	0.0166	0.0127	0.0138	0.0134	0.0172	0.0147	0.0176	0.0103
$Y_5$	0.0108	0.0111	0.0115	0.0158	0.0127	0.0188	0.0113	0.0154
$Y_s$	0.0195	0.0188	0.0189	0.0205	0.0189	0.0202	0.0201	0.0203
საათი	16-17	17-18	18-19	19-20	20-21	21-22	21-22	22-23
$Y_1$	0.0134	0.0123	0.02	0.012	0.0114	0.0149	0.0156	0.02
$Y_2$	0.02	0.0255	0.0231	0.0182	0.0152	0.0189	0.0214	0.0177
$Y_3$	0.0231	0.0252	0.0216	0.02	0.0233	0.0245	0.02	0.0267
$Y_4$	0.0176	0.0103	0.0115	0.0172	0.0156	0.0178	0.013	0.0175
$Y_5$	0.0161	0.0131	0.0131	0.0149	0.0137	0.017	0.0167	0.014
$Y_s$	0.0205	0.0194	0.0184	0.019	0.0183	0.0209	0.0202	0.0202

ცხრ. 8-10 ასახული მონაცემებით და ცხრ. 5-ში მოცემული ალგორითმით განსაზღვრულია ელექტროენერგეტიკული სისტემაში ყოველსაათობრივი

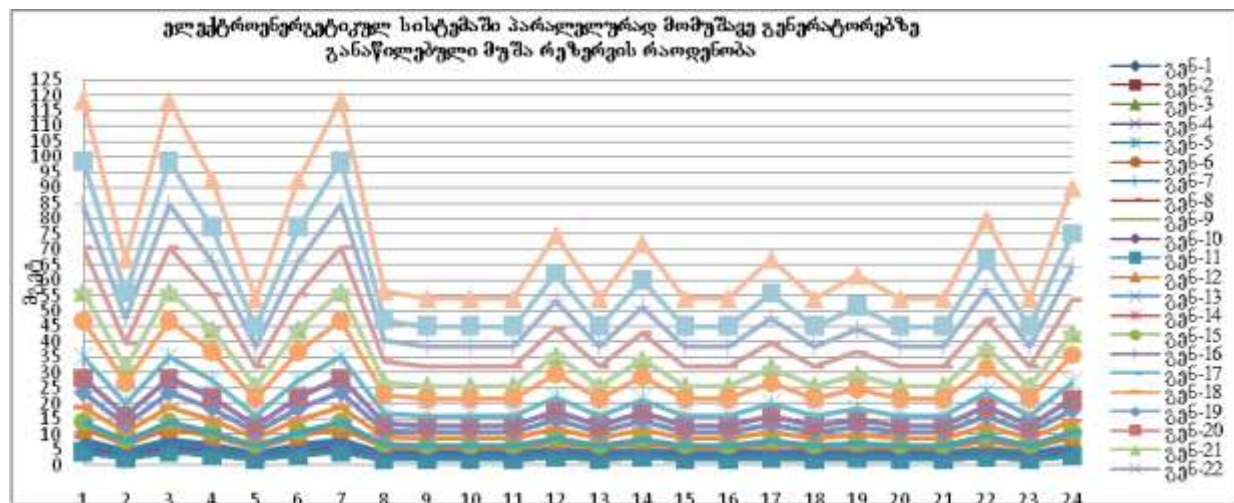
ოპერატიული რეზერვის ოპტიმალური სიდიდე და შედეგები შეტანილია ცხრ. 12-ში.

**ელექტროენერგეტიკულ სისტემაში ყოველსაათობრივი  
ოპერატიული რეზერვის ოპტიმალური სიდიდე**

ცხრილი 12

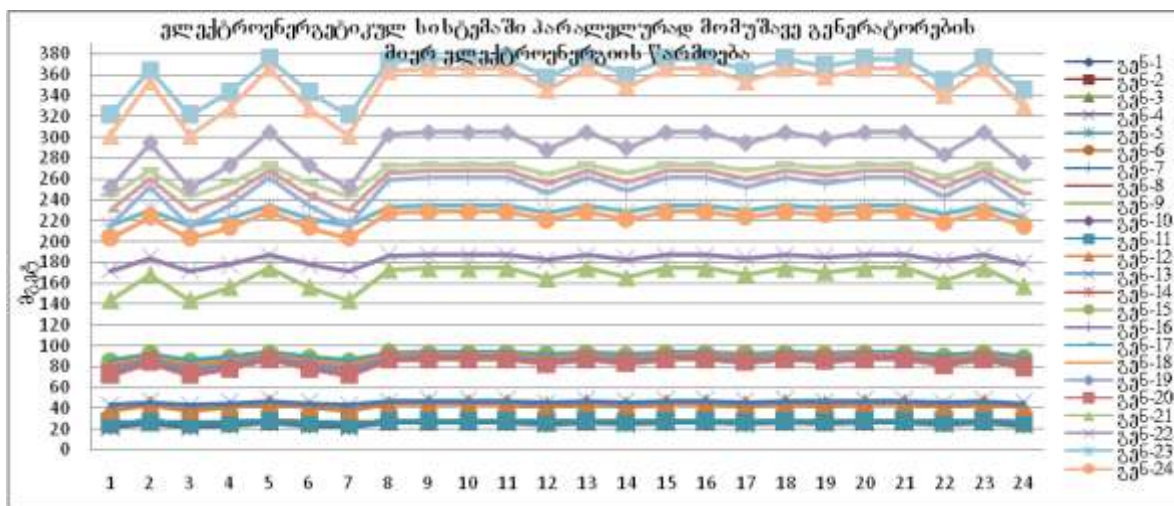
საათი	0-1	1-2	2-3	3-4	4-5	5-6	6-7	7-8
არსებული ოპერატიული რეზერვი	920	520	920	720	420	720	920	440
დამატებით საჭირო ოპერატიული რეზერვი	0	0	0	0	0	0	0	0
სულ ოპერატიული რეზერვი	920	520	920	720	420	720	920	440
% დატვირთვასთან	28.75	14.44	28.75	21.17	11.35	21.17	28.75	11.95
საათი	8-9	9-10	10-11	11-12	12-13	13-14	14-15	15-16
არსებული ოპერატიული რეზერვი	200	340	280	580	320	560	340	220
დამატებით საჭირო ოპერატიული რეზერვი	220	80	140	0	100	0	80	200
სულ ოპერატიული რეზერვი	420	420	420	580	420	560	420	420
% დატვირთვასთან	10.71	11.11	10.93	16.38	11.05	15.73	11.11	10.76
საათი	16-17	17-18	18-19	19-20	20-21	21-22	21-22	22-23
არსებული ოპერატიული რეზერვი	520	280	480	240	120	620	400	700
დამატებით საჭირო ოპერატიული რეზერვი	0	140	0	180	300	0	20	0
სულ ოპერატიული რეზერვი	520	420	480	420	420	620	420	700
% დატვირთვასთან	14.44	10.93	13.18	10.82	10.5	17.714	11.29	20.46

ელექტროენერგეტიკულ სისტემაში პარალელურად მომუშავე გენერატორებზე ყოველსაათობრივი ოპერატიული რეზერვის ოპტიმალური განაწილებისათვის გამოყენებულია პროპორციის მეთოდი [1]. შედეგები მოცემულია გრაფიკ 1-ზე.



გრაფიკ 1. ელექტროენერგეტიკულ სისტემაში პარალელურად მომუშავე გენერატორებზე განაწილებული ოპერატიული რეზერვის სიდიდე

ცხრ. 5-სა და გრაფიკ 1-ზე მოცემული მონაცემებიდან გამომდინარე ელექტროენერგეტიკულ სისტემაში პარალელურად მომუშავე გენერატორების მიერ ელექტროენერგიის წარმოებას აქვს გრაფიკ 2-ზე ასახული სახ:



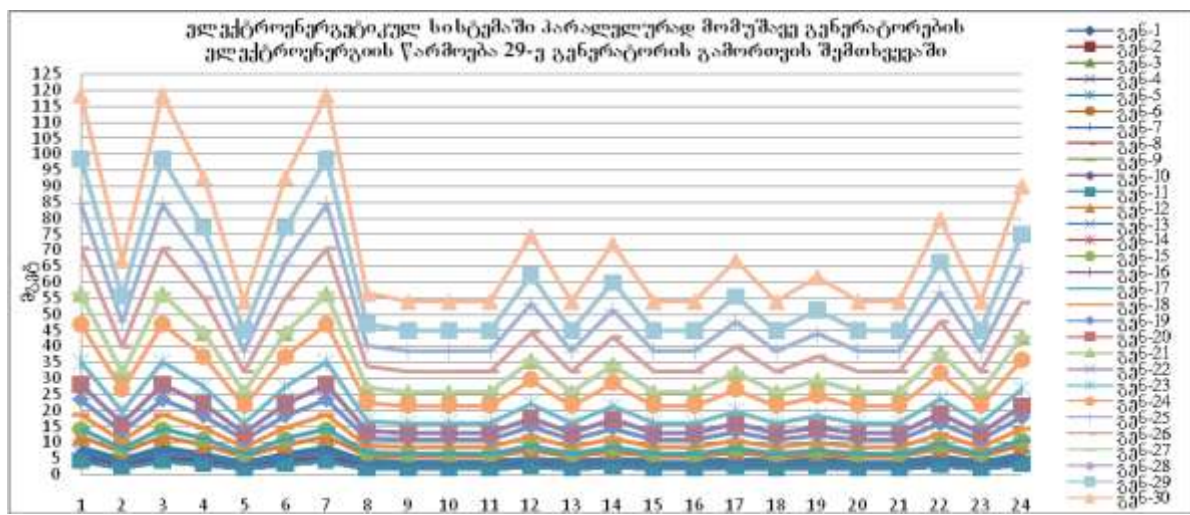
გრაფიკი 2. ელექტროენერგეტიკულ სისტემაში პარალელურად მომუშავე  
გენერატორების მიერ ელექტროენერგიის წარმოება

ზემოაღნიშნული მეთოდოლოგიის შესაბამისად მიღებული ოპერატიული რეზერვის ოპტიმალურობის დასადგენად ყოველსაათობრივად განხორციელებულია სისტემაში არსებული ყველაზე დიდი სიმძლავრის 29-ე გენერატორის ავარიული გამორთვის სიმულაცია და შედეგები შეტანილია ცხრ. 13-სა და გამოსახულია გრაფიკი 3-ით.

### 29-ე გენერატორის გამორთვის სიმულაციის შედეგები

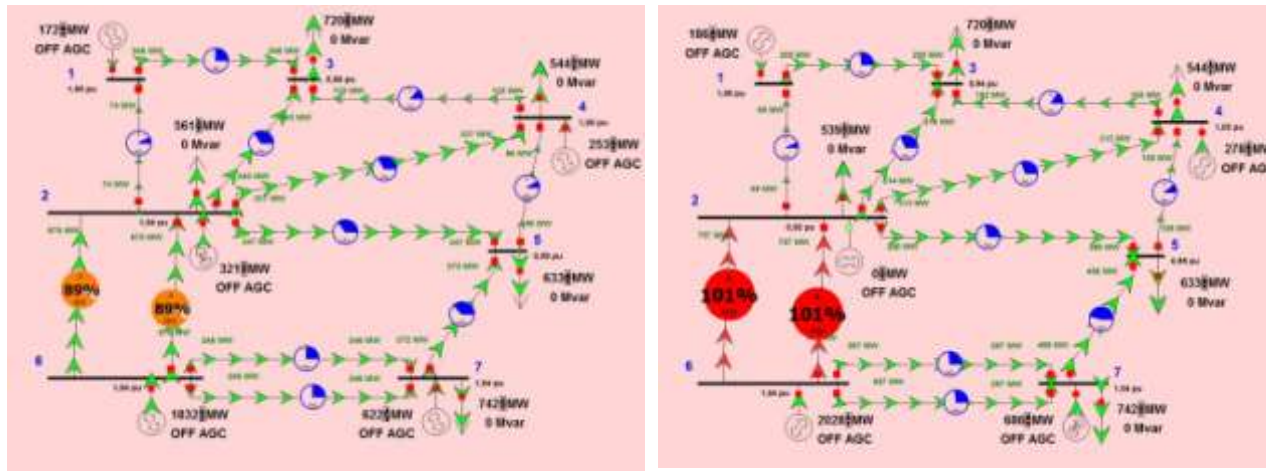
ცხრილი 13

საათი	0-1	1-2	2-3	3-4	4-5	5-6	6-7	7-8
სისტემაში დარჩენილი ოპერატიული რეზერვი, მგვტ	620.44	183.43	620.44	401.86	74.23	401.86	620.44	96.04
სისტემირის გადახრა	-0.171	-0.192	-0.171	-0.182	-0.198	-0.182	-0.171	-0.197
ჯამური დატვირთვის შემცირება, მგვტ	-22	-28	-22	-25	-29	-25	-22	-29
ჯამური დატვირთვის შემცირება, %	0,68	0,77	0,68	0,73	0,78	0,73	0,68	0,78
საათი	8-9	9-10	10-11	11-12	12-13	13-14	14-15	15-16
სისტემაში დარჩენილი ოპერატიული რეზერვი, მგვტ	75.83	74.81	75.25	248.94	74.96	227.10	74.81	75.68
სისტემირის გადახრა	-0.197	-0.197	-0.197	-0.189	-0.197	-0.190	-0.197	-0.197
ჯამური დატვირთვის შემცირება, მგვტ	-31	-30	-30	-27	-30	-27	-30	-31
ჯამური დატვირთვის შემცირება, %	0,79	0,79	0,78	0,76	0,78	0,75	0,79	0,79
საათი	16-17	17-18	18-19	19-20	20-21	21-22	21-22	22-23
სისტემაში დარჩენილი ოპერატიული რეზერვი, მგვტ	183.44	75.25	139.70	75.54	76.40	292.64	74.38	380.02
სისტემირის გადახრა	-0.192	-0.197	-0.194	-0.197	-0.196	-0.187	-0.197	-0.183
ჯამური დატვირთვის შემცირება, მგვტ	-28	-30	-28	-31	-31	-26	-29	-25
ჯამური დატვირთვის შემცირება, %	0,77	0,78	0,76	0,79	0,77	0,74	0,77	0,73



გრაფიკი 3: ელექტროენერგეტიკულ სისტემაში პარალელურად მომუშავე გენერატორების გენერაციული წარმოება 29-ე გენერაციის გამორთვის შემთხვევაში

ელექტროგადაცემის ხაზების განტარუნარიანობის შესამოწმებლად 24 სთ-სთვის განხორციელებულია სისტემაში სიმძლავრეთა განაწილების სიმულაცია პროგრამა PowerWorld-ის გამოყენებით [12]. 1 სთ-ვის მიღებულ შედეგებს აქვთ შემდეგი სახე:

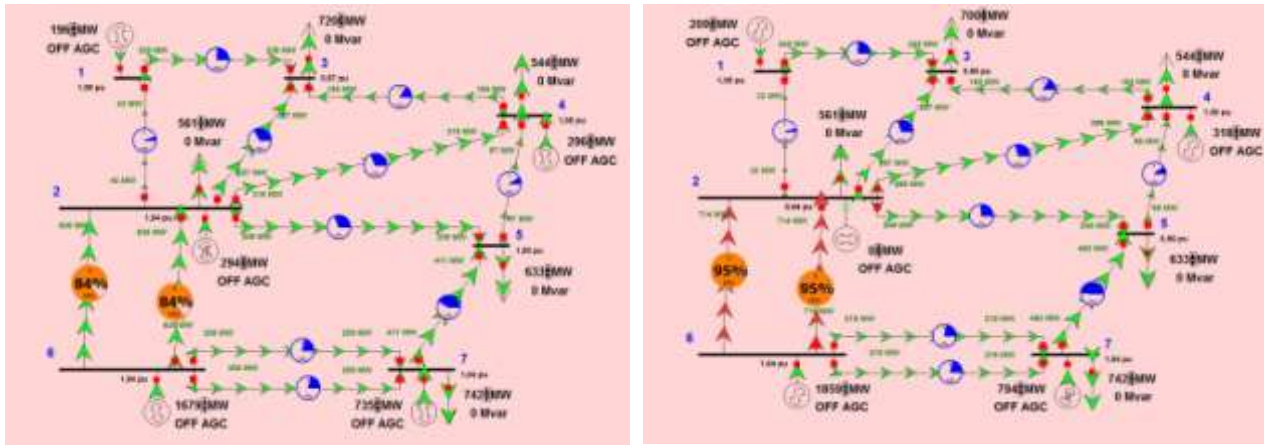


სქემა №1. ელექტროენერგეტიკულ სისტემაში სიმძლავრეთა განაწილება ნორმალურ რეჟიმში

სქემა №2. ელექტროენერგეტიკულ სისტემაში სიმძლავრეთა განაწილება ავარიულ რეჟიმში 29-ე გენერაციის გამორთვის დროს

როგორც გრაფიკი ჩანს №2-დან 29-ე გენერაციის ავარიული გამორთვის შემთხვევაში 6-2 კგანძებს შორის ორი ელექტროგადაცემის ხაზი გადაიტვირთება.

ცხრ. 5-ში მოცემული მაკორექტირებელი ალგორითმის საფუძველზე განხორციელებული ანგარიშების შედეგებს აქვთ ნახ. 6 და ნახ. 7-ზე მოცემული სახე.



ნახ. 3. ელექტროენერგეტიკულ სისტემაში  
სიმძლავრეთა განაწილების კორექტირებული  
სიდიდეები ნორმალურ რეჟიმში

ნახ. 4. ელექტროენერგეტიკულ სისტემაში  
სიმძლავრეთა განაწილების კორექტირებული  
სიდიდეები ავარიულ რეჟიმში 29-ე  
გენერაციის გამორთვის დროს

როგორც გრაფიკი 3 და 4-დან ჩანს, არც ნორმალურ და არც აგარიულ რეჟიმში ელექტროენერგეტიკული სისტემის არცერთი გენერატორი და ელექტროგადაცემის ხაზი არ არის გადატვირთული. სიმულაციის შედეგები 1 სთ-ისთვის მოცემულია ცხრ. 14-ში.

Georgo 14

დასკვნა

ჩატარებული პოლევების შედეგად ჩამოყალიბებულია ელექტროენერგეტიკული სისტემის აქტიური სიმძლავრის ოპერატორიული რეზერვის ოპტიმალური დაგეგმვის მეთოდიკა, რომელიც ატარებს უნიკერსალურ ხასიათს. ელექტროენერგეტიკულ სისტემას ეს მეთოდიკა საშუალებას აძლევს მაგენენირებელი მოწყობილობების პარამეტრების, დატვირთვის კვანძების საიმედოობის მახასიათებლების, ელ. გადაცემის ხაზების გამტარუნარიანობის და ელექტროენერგიაზე ყოველსაათობრივი მოთხოვნის პარამეტრების შესაბამისად ოპტიმალურად დაგეგმოს ოპერატორიული რეზერვის ყოველსაათობრივი სიდიდე.

## გამოყენებული ლიტერატურა

1. გ. მახარაძე. ენერგოსისტემების რეჟიმების მართვა და ოპტიმიზაცია. გამომცემლობა “ტექნიკური უნივერსიტეტი”. გვ: 86-89. 2005.
2. დ. ჯაფარიძე, ზ. გაჩეჩილაძე, თ. მაღრაძე. საშუალოვადიან პერიოდში საქართველოს ელექტროენერგეტიკული უსაფრთხოების უზრუნველსაყოფად ოპტიმალური საინვესტიციო პორტფელის შერჩევა. სამეცნიერო-ტექნიკური ჟურნალი “ენერგია”. №3(59). 2011. ივნისი. გვ:11-19. <http://www.energyonline.ge/energyonline/issue5/ge/ax-Japaridze.pdf>
3. საქართველოს ენერგეტიკის მინისტრის ბრძანება №77 ელექტროენერგიის (სიმბლავრის) ბაზრის წესების დამტკიცების შესახებ. 2006 წლის 30 აგვისტო. თბილისი.
4. Бабкин Д.В., Шульженко С.В. Планирование режимов субъектов ОЭС в современных условиях // Энергетика: управление, качество и эффективность использования энергоресурсов: Тез.докл. III Всерос. науч. техн. конф. Благовещенск. 2003. с.81-86. Летун В.М., Глуз И.С. Некоторые проблемы оптимального управления режимом работы энергосистемы в условиях оптового рынка. //Энергетика. 2002. № 1.
5. K. KILK\*, M. VALDMA. DETERMINATION OF OPTIMAL OPERATING RESERVES IN POWER SYSTEMS. Oil Shale, 2009, Vol. 26, No. 3 Special, pp. 220–227. 2009 Estonian Academy Publishers. [http://www.kirj.ee/public/oilshale/pdf/2009/issue\\_3s/oil-2009-3S-220-227.pdf](http://www.kirj.ee/public/oilshale/pdf/2009/issue_3s/oil-2009-3S-220-227.pdf)
6. Amir Motamedi . Mahmud Fotuhi-Firuzabad . RESTRUCTURED POWER SYSTEMS USING A HYBRID DETERMINISTIC/PROBABILISTIC APPROACH . 5th International Conference on Electrical and Electronics Engineering, 5-9 December 2007, Bursa Turkey, ELECO2007. [http://www.emo.org.tr/ekler/d43ce3fc206f289\\_ek.pdf](http://www.emo.org.tr/ekler/d43ce3fc206f289_ek.pdf)
7. Mohammad Taghi Ameli, Saeid Moslehpoor, Mahdavikhah Golnazsadat. Determining the Spinning Reserve In Power Systems By Corrected Recursive PJM Method. International Conference on Engineering & Technology. 2009 Year. [http://www.ijme.us/cd\\_08/PDF/64-%20ENT%20205.pdf](http://www.ijme.us/cd_08/PDF/64-%20ENT%20205.pdf)
8. K. AFSHAR, M. EHSAN\*\*, M. FOTUHI-FIRUZABAD, A. AHMADI-KHATIR AND N. BIGDELI. A NEW APPROACH FOR RESERVE MARKET CLEARING AND COST ALLOCATING IN A POOL MODEL. Iranian Journal of Science & Technology, Transaction B, Engineering, Vol. 31, No. B6, pp 593-602. Printed in The Islamic Republic of Iran, 2007.
9. Young Fang. Fuzzy portfolio optimization. Springer, Berlin. 2008 Year.
10. Cornelius T. Leonedes. Fuzzy logic and expert system applications. Academic press. Los angeles. 1998.
11. Miguel Angel Ortega Vazquez. Optimizing spinning reserve requirements. University of Manchester. School of electrical and electronic engineering. Degree of philosophy. 2006 May. [http://www.eee.manchester.ac.uk/research/groups/eeps/publications/reportstheses/aoe/ortega-vazquez\\_PhD\\_2006.pdf](http://www.eee.manchester.ac.uk/research/groups/eeps/publications/reportstheses/aoe/ortega-vazquez_PhD_2006.pdf)
12. <http://www.powerworld.com>.

დავით ჯაფარიძე, სრული პროფესორი

0106809 მაღრაძე, დოქტორანტი  
tengo\_cn@yahoo.com